

Письма в ЖТФ, том 15, вып. 2

26 января 1989 г.

05.4

О ФОРМИРОВАНИИ ПЛЕНОК ВТСП ПРИ НЕСТАЦИОНАРНОМ ЛАЗЕРНОМ НАГРЕВЕ ЖИДКИХ РАСТВОРОВ КАРБОКСИЛАТОВ МЕТАЛЛОВ

В.Д. Б о р м а н, С.А. Д у д к о,
И.В. С и н и цы н, В.И. Т р о я н,
Е.А. Ф и л и п п о в, А.В. Х м е л е в

В работах [1, 2] показана возможность получения пленок ВТСП разложением карбоксилатов металлов (*Y, Ba, Cu*) в пленке жидкого раствора. Высокие технические параметры таких пленок открывают возможность разработки технологии, не требующей вакуума и снимающей ограничения на размер и конфигурацию обрабатываемых образцов. В настоящей работе установлено влияние эффекта нестационарности лазерного нагрева [2] на состав и свойства формируемых пленок сложных оксидов.

Формирование пленок *V₂Ba₂Cu₃O_x* осуществлялось в процессе разложения на воздухе смеси карбоксилатов *V, Ba, Cu* в растворе высших изомеров карбоновых кислот (с содержанием углерода 7–9 атомов на молекулу) с отношением концентраций металлов 1:2:3. Реакция разложения инициировалась нагревом подложки (моноокристиалл сапфира, либо он же с нанесенным слоем *ZrO₂*), покрытой слоем раствора толщиной $\sim 10^{-3}$ см при поглощении в ней излучения лазера ЛТИ-102 В ($\lambda = 1.06$ мкм). Нагрев осуществлялся

до температуры $T = 1200$ К с характерным временем $\tau_H = \frac{T_0}{dT/dt} =$
 $= 3 \cdot 10^3$ с ($T_0 = 300$ К). Кинетика реакции и ее продукты исследовались с использованием масс-спектрометрического (МСХ-6), термогравиметрического ($Q - 1500$ Д), электронографического (ЭМР-100), фотоэлектронноспектроскопического (ХSAM-800) анализов, а также зондирующего излучения по методикам, описанным в [3]. Установлено, что при нагреве за время $\tau_H \approx 10^3$ с последовательно протекают процессы испарения кислот ($T = 420$ К)

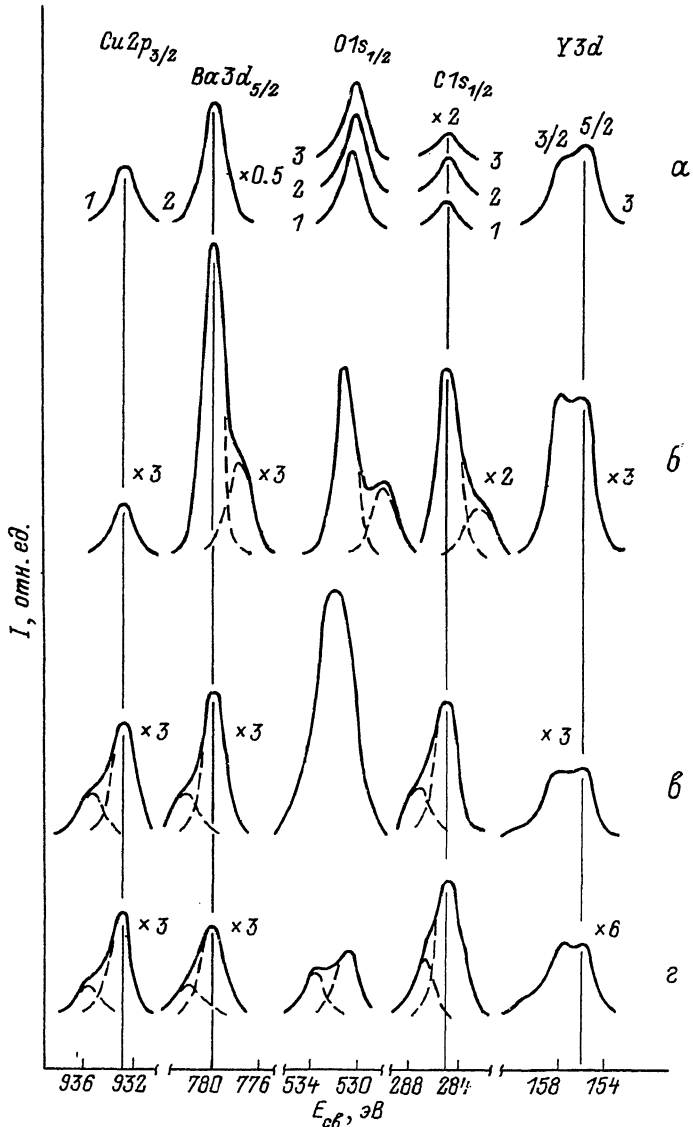


Рис. 1. Рентгеновские фотоэлектронные спектры твердых продуктов разложения α - карбоксилатов металлов ($\tau_H \approx 10^3$ с). 1 - Cu , 2 - Ba , 3 - Y , и их смеси; б - $\tau_H \approx 3$ с; в - $\tau_H \approx 10^3$ с; г - $\tau_H \approx 10^3$ с ($T = 800$ К), $\tau_H \approx 3$ с ($T_{max} = 1200$ К).

и трехстадийного разложения каждого из карбоксилатов металлов. Третья стадия разложения карбоксилатов $\text{Cu}, \text{Y}, \text{Ba}$ заканчивается соответственно при температурах 530 К, 670 К и 800 К. С уменьшением времени нагрева до $\tau_H \approx 1$ с эти температуры возрастают ~ на 200 К, при этом реакция разложения протекает в присутствии растворителя, не успевающего полностью испариться за это время. Полнота осаждения металлов на подложку близка к 100% и не зависит от времени нагрева в исследованном диапазоне τ_H . Газообразными продуктами реакции являются C_nH_{2n} ($n = 2, 4$), $\text{C}_n\text{H}_{2n+2}$ ($n = 1, 2$), а также $\text{CO}, \text{CO}_2, \text{H}_2\text{O}$. Формируемые в реакции в одном цикле нанесения – разложения исходной смеси твердые пленки толщиной $2 \cdot 10^{-5}$ см имеют поликристаллическую структуру при $\tau_H \approx 10^3$ с и аморфную – при $\tau_H \approx 3$ с. Кристаллизация пленок, полученных при $\tau_H \approx 10^3$ с разложением каждого из карбоксилатов $\text{Cu}, \text{Y}, \text{Ba}$ в отдельности, происходит при температурах 530 К, 670 К и 800 К. Установлено, что линии в спектре, соответствующие энергиям связи ($E_{\text{св}}$) электронов $\text{Y}^{3d}_{5/2}$ (156 эВ), $\text{Ba}^{3d}_{5/2}$ (780 эВ), $\text{Cu}^{2p}_{3/2}$ (933.5 эВ), $01s_{1/2}$ (531 эВ), $C1s_{1/2}$ (285 эВ), совпадают в пределах погрешности 0.5 эВ для пленок, полученных разложением карбоксилатов $\text{Cu}, \text{Y}, \text{Ba}$ каждого в отдельности (рис. 1,а), а также полученных разложением их смеси (рис. 1,б–г). Приведенные значения $E_{\text{св}}$, калиброванные по линии $\text{Au}^{4f}_{7/2}$, насыляемого на поверхности пленок твердых продуктов разложения отдельно карбоксилатов $\text{Cu}, \text{Y}, \text{Ba}$, указывают [4], что в состав последних (рис. 1,а) входят $\text{Y}_2\text{O}_3, \text{BaO}, \text{CuO}$, а также молекулы углеводородных загрязнений. В спектре пленок, полученных разложением смеси карбоксилатов $\text{Cu}, \text{Y}, \text{Ba}$ при нагреве за время $\tau_H \approx 3$ с (см. рис. 1,б), в отличие от спектра рис. 1,а, присутствует линия $01s_{1/2}$ с $E_{\text{св}} = 528.2$ эВ, а также пик $\text{Ba}^{3d}_{5/2}$ с $E_{\text{св}} = 778$ эВ, указывающие [4] на присутствие в анализируемом слое фазы сложного оксида $\text{YBa}_2\text{Cu}_3\text{O}_x$. Линия в спектре $C1s_{1/2}$ с $E_{\text{св}} = 282$ эВ соответствует [5] карбидным соединениям металлов. В спектрах пленок, полученных разложением смеси карбоксилатов $\text{Y}, \text{Ba}, \text{Cu}$ при нагреве за время $\tau_H \approx 10^3$ с до $T_{\max} = 1200$ К (1,в) и до $T = 800$ К с последующим нагревом до $T_{\max} = 1200$ К за время $\tau_H \approx 3$ с (1,г), указанные дополнительные пики $01s_{1/2}, \text{Ba}^{3d}_{5/2}, C1s_{1/2}$ отсутствуют. Вместе с тем наблюдается линия $C1s_{1/2}$ с $E_{\text{св}} = 288$ эВ, свидетельствующая [5] о наличии карбонатных соединений металлов, а также линии $\text{Cu}^{2p}_{3/2}$ ($E_{\text{св}} = 935.5$ эВ), $\text{Ba}^{3d}_{5/2}$ ($E_{\text{св}} = 783$ эВ), $01s_{1/2}$ ($E_{\text{св}} = 533.5$ эВ), которые могут быть связаны как с зарядкой поверхности диэлектрических фаз окислов, так и с наличием в пленке смеси соединений сложных оксидов $\text{Y}, \text{Ba}, \text{Cu}$. Анализ интенсивностей линий (I) в спектрах, полученных при послойном травлении пленок ионами Ar^+ , показывает (рис. 2), что при нагреве раствора за время $\tau_H \approx 3$ с и $\approx 10^3$ с распределения концентраций соответствующих металлов ($\text{C} \sim \text{I}$) по глубине формируемых пленок не отличаются в пределах ошибок измерений. При этом в

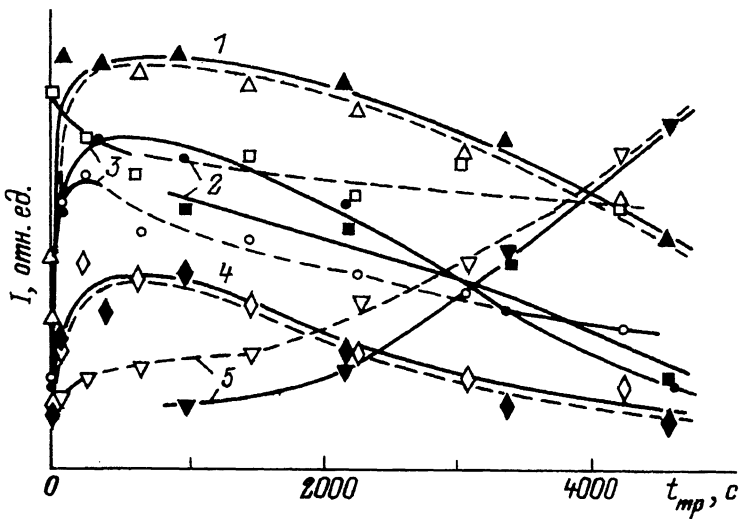


Рис. 2. Зависимости относительных интенсивностей линий. 1 - $Ba\ 3d_{5/2}$, 2 - $O\ 1s_{1/2}$, 3 - $Y\ 3d_{5/2}$, 4 - $Cu\ 2p_{3/2}$, 5 - $Al\ 2s_{1/2}$ от времени травления ионами Ar^+ пленок: $\tau_H \approx 3$ с (сплошные линии), $\tau_H \approx 10^3$ с (штриховые линии).

случае $\tau_H \approx 3$ с содержание кислорода, а также диффундирующего из подложки Al в пленке оказывается заметно меньше, чем при $\tau_H \approx 10^3$ с. Удельное сопротивление пленок (ρ), исследованное по методике 4-х точечных измерений, отличается для разных режимов их получения (рис. 1, б-г) и составляет соответственно $\lesssim 10^{-2} \Omega \cdot \text{см}$, $10^{-1} \Omega \cdot \text{см}$, $10^2 \Omega \cdot \text{см}$ при $T = 300$ К. Температура сверхпроводящего перехода для пленки, полученной при $\tau_H \approx 3$ с в 7 циклах нанесения-разложения смеси и отожженной дополнительно в O_2 при $T = 700$ К в течение нескольких часов, определялась в измерениях с использованием СКВИДа и составляет 80 К, эффект Мейснера $\sim 10\%$ при $T = 20$ К.

Обсудим механизм образования пленок $YBa_2Cu_3O_x$. Формирование такого соединения из окислов CuO , BaO , Y_2O_3 , осаждаемых на подложку, (в частности, разложением карбоксилатов металлов) в виде однородно распределенных по объему кристаллитов, происходит, как известно [6], в случае квазистационарного нагрева при $T > 800$ К через образование 7 промежуточных фаз. Характерное время реакций образования таких фаз составляет $\tau_{pi} \sim 1$ часа ($i = 1-7$) и определяется, по-видимому, диффузией по границам зерен. При нагреве раствора карбоксилатов Y , Ba , Cu за время $\tau_H \ll \tau_{pi}$, $\tau_H \ll \tau_k$ ($\tau_k \sim 10$ минут - время кристаллизации окислов CuO , BaO , Y_2O_3) до $T_{max} \approx 1200$ К обеспечивается возможность образования $YBa_2Cu_3O_x$ из молекул окислов в слое аморфного конденсата,

когда время диффузии реагентов в 10^3 - 10^4 раз меньше [7], чем в поликристаллической пленке. По-видимому, аналогичная ситуация имеет место и в [8]. Кроме того, при $\tau_H \approx 3$ с образование $YBa_2Cu_3O_x$ при $T_{max} = 1200$ К происходит в присутствии не успевшего полностью испариться растворителя ($\tau_H \sim 1$ с). В этом случае, согласно оценкам, поток молекул карбоксилатов металлов ($\sim 3 \cdot 10^{18}$ мол /см².с) из объема пленки на поверхность растущего слоя конденсата окислов и их абсорбция в нем существенно (\sim в 30 раз) меньше, чем в отсутствие растворителя. Это обуславливает меньшее содержание остаточного углерода в виде карбонатов металлов в формируемых пленках при $\tau_H \approx 3$ с (рис. 1,б) по сравнению со случаем нагрева за время $\tau_H \approx 10^3$ с (рис. 1,в,г). В последнем случае за время $\tau_H \ll \sum_{i=1}^x \tau_{pi}$ сверхпроводящая фаза $YBa_2Cu_3O_x$ не успевает образовываться, а промежуточные оксидные фазы и соединения металлов с остаточным углеродом (в частности, карбонаты металлов) должны приводить к диэлектрическим свойствам пленки, что и наблюдается в эксперименте. Таким образом, полученные результаты показывают, что временем лазерного нагрева раствора карбоксилатов металлов можно управлять химическим составом и свойствами формируемых пленок сложных оксидов.

Авторы благодарят Н.Г. Демченко, А.В. Анисимова, Ю.Ю. Лебединского за помощь в проведении измерений.

Л и т е р а т у р а

- [1] Mantese J.V., Hamdi A.H., Michel A.L., et al. // Appl. Phys. Lett. 1988, V. 52. N 19. P. 1631.
- [2] Беликов А.П., Борман В.Д., Дудко С.А. и др. // Изв. АН СССР, Сер. физич. 1988. V. 52. P. 9.
- [3] Беликов А.П., Борман В.Д., Николаев Б.И. и др. // Химическая физика. 1988. V. 7. P. 892.
- [4] Fjellåg H., Karen P., Kjekshus A., et al. // Sol. State Com. 1987. V. 64. N 6. P. 917-921.
- [5] Parmigiani F., Chiarella G., Ripamonti N., et al. // Phys. Rev. B. 1987. V. 36. N 13. P. 7148.
- [6] Prakash O.M., Venkataranami N., Bhatia S.N., et al. // Pramana J. Phys. 1987. V. 29. N 1. P. L103-L106.
- [7] Физико-химия аморфных (стеклообразных) металлических сплавов. Тезисы докладов II Всесоюзного совещания. М.: Наука, 1985, с. 67.
- [8] Головашкин А.М., Екимов Е.Е., Красносоводцев С.И. Эпитаксиальные пленки высо-

Московский инженерно-
физический институт

Поступило в Редакцию
4 ноября 1988 г.

Письма в ЖТФ, том 15, вып. 2

26 января 1989 г.

11

ВЛИЯНИЕ ВЗАИМОДЕЙСТВИЯ АДАТОМОВ НА АКТИВИРОВАННЫЕ ПРОЦЕССЫ ВБЛИЗИ ТОЧКИ КЮРИ МАГНЕТИКА

Ю.Н. Девятко, В.Н. Тронин,
В.И. Троян

В результате многочисленных экспериментов было установлено аномальное возрастание в окрестности точки Кюри (T_K) магнетика скорости таких поверхностных процессов, как начальное окисление Fe и Co , сублимация Co , десорбция водорода с Ni , восстановление окиси Ni [1]. Для описания этих активированных процессов была предложена одночастичная модель [2], учитывающая взаимодействие адатомов с термостатом: выход частицы из потенциальной ямы $U(\vec{r})$ происходит под действием случайных сил, обусловленных флуктуациями равновесного термостата. Поскольку при $T \rightarrow T_K$ возрастает амплитуда и время жизни флуктуаций спиновой подсистемы магнетика, то в результате аномально увеличивается случайная сила, действующая на адатом со спином S , и возрастает частота релаксации частицы γ [2].

Однако одночастичное приближение не позволяет объяснить наблюдаемые [3] зависимости энергии активации и величины аномалий скорости окисления Ni в окрестности точки Кюри от степени заполнения (θ) поверхности адчастицами [3]. Покажем, что взаимодействие между адчастицами может оказывать существенную роль на характер активированных процессов, особенно при больших степенях заполнения и вблизи точки Кюри магнетика. С учетом взаимодействия адатомов друг с другом уравнение Фоккера-Планка для функции распределения частиц по координатам (\vec{r}) и импульсам (\vec{p}) имеет вид

$$\frac{\partial f}{\partial t} + \frac{\vec{p}}{m} \frac{\partial f}{\partial \vec{r}} + (\vec{F}_0 + \vec{F}_1) \frac{\partial f}{\partial \vec{p}} = 2 \frac{\partial}{\partial \vec{p}} \left(mT \frac{\partial f}{\partial \vec{p}} + \vec{p}f \right), \quad (1)$$

где m – масса частицы, T – температура термостата, $\vec{F}_0 = -\nabla U$, $\vec{F}_1 = -\nabla V(\vec{r} - \vec{r}')f(\vec{r}', \vec{p}, t)\alpha \vec{r}' d\vec{p}$ ($U(\vec{r})$ и $V(\vec{r} - \vec{r}')$ – потенциалы взаимодействия адчастицы с термостатом и между собой со-